

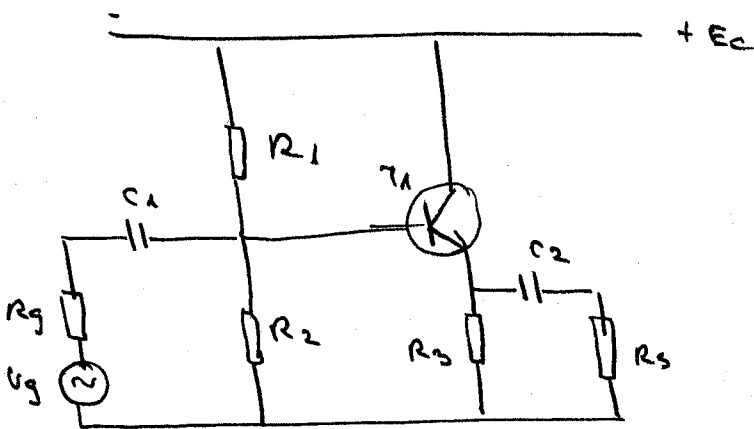
III inițiere

(A) Generalități

Analiza circuitelor electrice a cunoscut o în-
altare transformare și îmbogățire. Un aparat ma-
tematic tot mai dezvoltat a fost folosit în sprijinul
acestei analize, aparat care permite întocuirea de
la o modelare a circuitului real (fizic)

Vom presupune în continuare că, pornind de
la un circuit real, această modelare a fost făcută. în
acest sens, vom folosi și aici modelele clasice (vezi
bibl.)

Să presupunem acum că vrem să facem
o analiză a circuitului ([B]):



- fig 1 -

(Repetarea pe emitor
Exemplu de circuit cu
elemente neliniare)

În lucrările de specialitate (de ex [5] pag 16) se
remarcă faptul că metodele clasice valabile pentru
cercul circuitelor liniare nu mai pot fi în general
folosite în aceste cazuri.

Cum sînt de periclit în mod claric acestor difuzitate?

Se fac unele ipoteze, cum ar fi:

- aproximarea liniară a caracteristicilor pe porțiunile
afectate în vecinătatea unor puncte medii de funcționare

- funcționare în regim de semnal sinusoidal (ω)

- — || — mic ($|\Delta V_{AE}| \leq \frac{2}{12} V = 0.25 V$)

- diverse alte aproximări

La aceste prime aproximări se adaugă și altele

privind însuși caracteristicile elementelor neliniare

(regim mic de injecție, neglijașe efectelor de recombinare

a șurubului Farley etc) se bazează la analitică, făcîndu în

două etape:

(1) Calculul punctului static de funcționare (regim
staționar). Aici se fac diverse aproximări „resonan-
țiale” pentru a facilita găsirea rapidă a unor solu-
ții aproximative.

Se mai menționăm și observația standard că
mai multă precizie aici nu are rost, dacă ținem cont
de diverșii factori perturbatori (imprezicierea teh-
nologică a circuit., variașia temperaturii etc)

(2) Calculul regimului dinamic (sinusoidal de
semnal mic) făcînd pe baza unor modele, valabile
într-o mică limită la care restrînge, așa cum am

mai verificată.

În sfârșit, în cazul cî regimul este „de semnal mare” se face un calcul exact (pe calculator) pornind de la anumite modele, apoi sînt „de semnal mare”, mai generale ca cele de semnal mic și care întinse anumite limite rămîn valabile și pentru variația anumitor factori. Împrobarea tehnologică reduce eficienta a. n. metode, mai exacte.

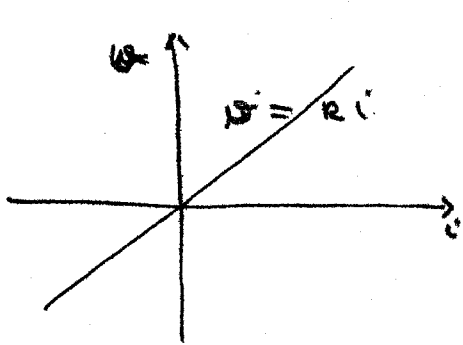
Pornind de la modele generale de semnal mare, la mai mult, acordînd o libertate mult mai mare a. n. mitor parametri, analiza calitativă fundamentală abordează problema într-un mod diferit.

Acel mod va rezulta în cele ce urmează :

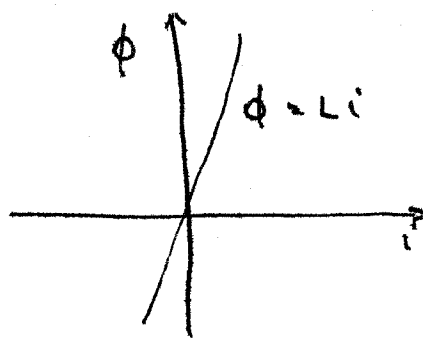
Ⓑ Caracteristicile elementelor

Ⓐ Aspecte generale

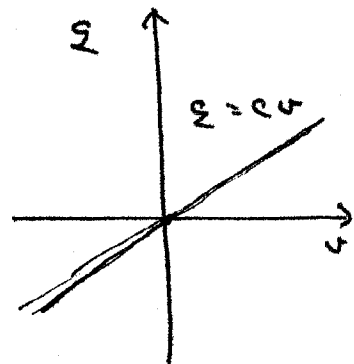
Di toate lucrările de specialitate, putem trage concluzia că pentru caracteristicile elementelor liniare clasice (rezistență, condensatoare, bobine) sunt potrivite modele valabile în limitele anumite de largi:



a) Caracteristici rezistență
liniară



b) Caracteristici bobine
liniare



c) Caracteristici cond.
liniară

$$(1) \quad u = \frac{d\phi}{dt} = L \frac{di}{dt} \quad (1') \quad i = \frac{dQ}{dU} = C \frac{dU}{dt}$$

- fig 2 -

Chiar dacă în realitate o rezistență de exemplu nu se rezerva de fapt la orice tensiune (curent), teoria clasică adoptă modelul definit pe întregă axa reală: $(-\infty, \infty)$. Așa vor face și noi. A suprapunerea acestor modele prime considerate, vor rezulta în altă direcție.

În tehnologia fabricării acestor elemente este destul de bine pusă la punct înțelegerea

afare vor avea o pleji $\hat{\lambda}$ de variație.

Tolerațiunea rind se trece la calcula trăsuri ur- mare spectul eventualilor devieri și aceasta se face, în proiectare prin acele σ . uri ce reflectă dispersia, sperând că pentru fiecare element.

În plus să amintim spectul eventualilor per turbării asupra acestor elemente, spect de care se ține cont de obicei prin considerarea unor coefi- cienti de variație (de ex: α cu temperatura etc)

Practic deci, nu dispunem de caracteristica

de la fig 3a, ci de un "nor" reprezentat în figura 3b

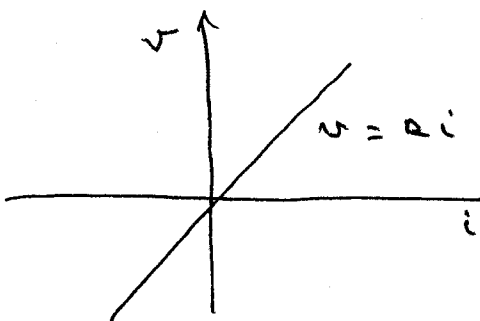


fig 3a
Caract. ideală

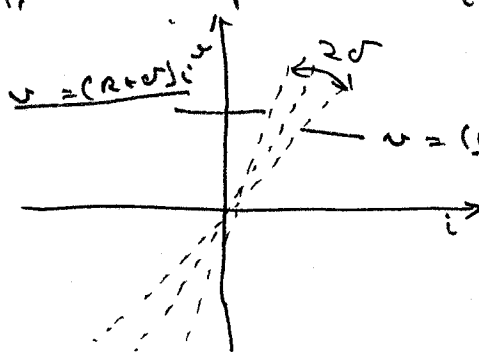


fig 3b
Imprecizie tehnologică

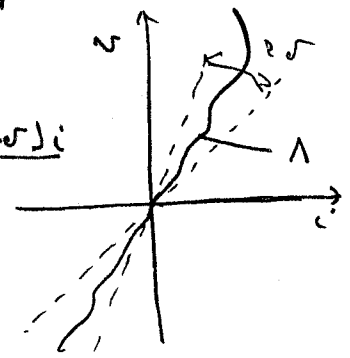


fig 3c
Efecte externe

- fig 3 -

În figura 3c am reprezentat ideea că, pe per- ceptul diferențierii unei experiențe curba reală poate fi derivată de sumii parametri externi (o variație a temperaturii mediei de exemplu) astfel încât locul punctelor (0, y) nu va mai fi o linie dreaptă. (clarific)

cuibă 1 nu reprezintă o "caracteristică statică", ce nu va mai fi schimbată decât datorită expunerii succesive la cureni dubli ceterum *sinusoși* în timp : a părții electrice propriu-zise și a părții exterioare)

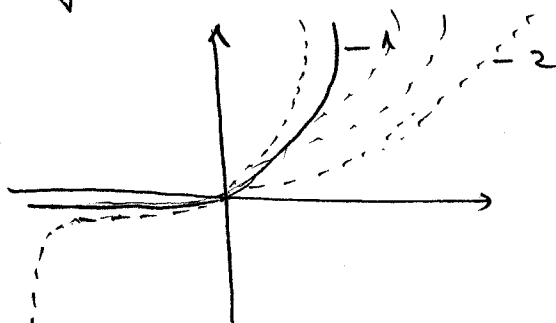
Elementele noi nu specificate me au lăsat încă dăruț de supărătoare pentru a face înoperante calculul clarice de circuite liniare, valabile cu foarte bună aproximație. Din acest punct de vedere, elementele neliniare "sunt mult mai rele". Altfel, în circuitele combinate va fi foarte necesar să presupunem și noi că elementele liniare își păstrează forma și valoarea. Totuși vom vedea că multe din rezultatele me depășesc de așteptări precum presupunem, deoarece elementelor menționate literar-nivale decât să fie obiectul cercetărilor și surzării sine pe R.

Să trecem acum la circuite neliniare. Situația se schimbă esențial : caracteristicile me fac o mișcare tehnologică și o varietate cu parametrii exteriori mult mai puternici (până la 300% !). Se spune cu această ocazie că pentru corectarea plății pentru paribilitățile de calcul a circuitelor cu tranzistori bi-polari (la care se

van referi în continuare) constă tocmai în acce-
tă puterilor și reproducă nedeterminare

Soluția la care se rezerve atenției în mod
obișnuit este proiectarea unor dispozitive astfel
gândite, ~~și~~ înțit prin însuși concepția lor, să
stabilizeze punctul de funcționare, în ciuda e-
ventualelor variații (vezi de exemplu clarice rezis-
tență de reacție negativă din emitor), etajele dife-
rențiale integrate cu parametri imperfecți, lăb-
nec reacții, care (acee soluție să depindă de
dispozitivele liniare etc) Anume modificări cu
insuși întotdeauna să este negative, pe care auto-
mat trebuie să le acceptăm (de exemplu scăderea
amplificării)

Procedurile laborate lae ca în figura de
mai jos :



- 1 - caracteristica întințată
- 2 - caracteristica reală
(near)

- fig 4 - (Element neliniar)

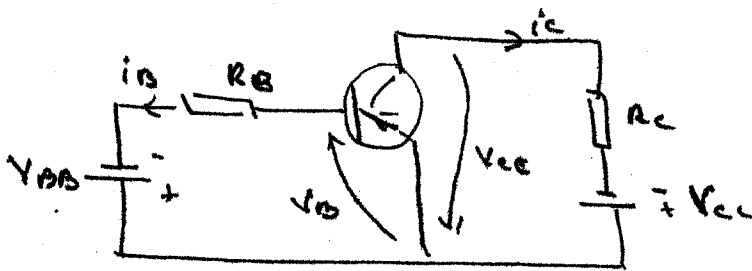
variația caracteristicii reale a dispozitivului
neliniar să influențeze direct de puteri regi-

meu global de funcționare a circuitului

Soluți remarcabile ca :

- acestea „relații dependente” este greu de enunțat, necesitatea de fixare data raționalmente ingineriare și fiind „paralizată” analiza ei în cazuri complexe.

- efectul unei eventuale greșeli în acest sens poate fi foarte periculos. Să luăm un exemplu clar în acest sens :



- fig 5 -

Etaj cu emitorul comun

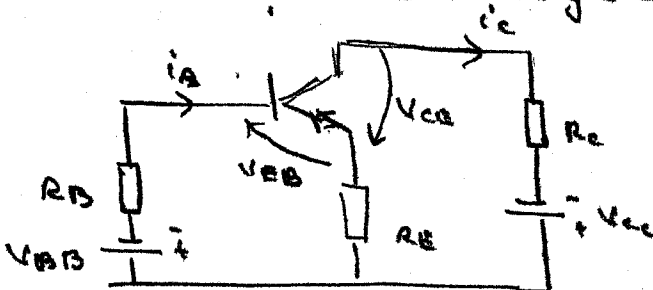
Acest etaj este practic nedeterminat, din cauza dispersiei caracteristicilor, care face ca intersecția lor cu dreapta de sarcină

$$(2) i_B = \frac{V_{AB} - V_{EB}}{R_B}$$

$$(2') i_C = \beta_F i_B \text{ cu } \beta_F \text{ foarte variabil}$$

să fie mult prea variabilă.

Soluția care rezolvă :



- fig 6 -

Introducerea rezistenței stabilizatoare

dura la

$$(3) i_c = \beta_F i_B = \frac{\beta_F (V_{MB} - V_{EB})}{R_B + (\beta_F + 1) R_E}$$

Relația arată evident calculatarea lui i_c cu ve.
 ricalia lui β_F . Practic pentru β_F mari:

$$(3') i_c \approx \frac{V_{MB} - V_{EB}}{R_E} \approx \text{ct} \quad (\text{nu depinde de elementul activ})$$

Aurea a fost un caz simplu și artificial a fost
 găsit. Ne întrebăm însă: ce se face în situații
 mai complicate?

- dacă ne lărgim puțin asupra soluției?
- dacă ne găsim artificialul necesar?

Dar, întrebarea esențială la care ar dori să
 răspundem este una de obicei studată: Nu

cumva aproximațiile făcute sau impreciz-
țiile inerente pot schimba caracte-
rul calitativ al rezultatului? (cu ni $\frac{I_{B2}}{I_{B1}}$ pag 5)

Pe calea răspunsului la această întrebare
 calitativă (ce și la multe altele) va merge analiza
 pe care o vom face. De la început trebuie să
 specific că vom aborda rezultatul un grad
 mult mai mare de libertate, căci nu ne va mai

interesul caracteristică scării a unui element, și aspectul său calitativ, în surse care vor fi de fapt cele date prezintă. Astfel, ipoteza noastră fundamentală este:

ipoteza constanței - toate caracteristicile elementelor, chiar dacă variază (în timp, tehnologic etc) păstrează în aceste variații constanta unor calități, care vor fi menționate de fiecare dată (ipoteza constanței calitative I.C.C.)

- topologia circuitului nu se propune analizei (nu sursă modificării). Aceasta este ipoteza constanței topologiei (I.C.T.).

Observație

Există de fapt o legătură între I.C.T și I.C.C. care aparține unei surse de între două noduri în circuit relegate (de exemplu) care putea fi considerată o schimbare a caracteristici de polaritate din $i = 0$ (înainte) în $i = 0v$ (după modificare)

Toturi pentru claritatea ideilor voi lăsa ambele impuse, explicit.

Pentru ipotezele constanței, vom realiza o serie de teoreme calitative (invarianta saltului, unicitatea și etc). Metodele lăuate

Î-am numit „analiza calitativă fundamentală”
(pe scurt A.C.F.)

Ipotezele de constanță sînt în general validate de realitate (sînt deseori foarte largi). Totuși, dacă realitatea va înfîrnă un rezultat pe care l-am dedus prin metode A.C.F., trebuie să înțelegem de lucrare date și ipotezele de calitate au fost încălcate, care rezultat afirmativelor din teorie sînt stabilite prin deducție și validitatea lor e îndoielnică.

Să vedem mai de parte ce fel de ipoteze vom avea asupra elementelor de circuit.

② Elemente liniare

Îatăcî sînt ipoteze, (sunt mai largi)

I1 : Elementele liniare respectă structura fig 3a

(prezintă ~~un~~ ^{rezonanță} sau fi ~~mişcătoare~~ altă de perturbări)

I2 : Elementele liniare au o anumită libertate de fază (R liber sînt să la care velleare), dar nu sînt liniare (fig 3b)

I3 : Libertate a caracter să ia forma 4 din fig 3c.

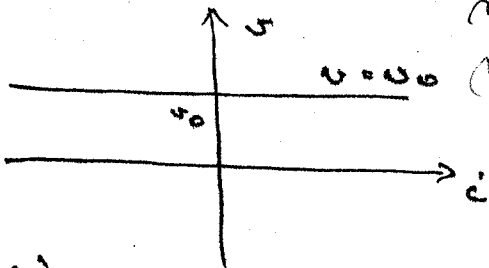
Derivăm că un astfel de element nu mai este prezent liniar. El vom numi „caracteristică” și unora vor arde și caracter de libertate (în general nu se vede care se confundă cu a permite prezenta în

rar elemente circulate la p. 5)

ipoteza iz va fi cel mai larg utilizată.

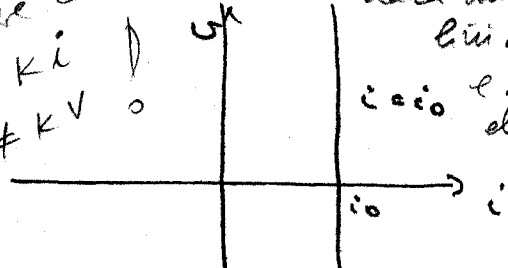
Să mai menționăm aici faptul că sursele de tensiune constantă (sau de curent) pot fi și ele considerate elemente liniare, așa cum se sugerează în

propoziția:



a) sursă de tensiune

mit elemente neliniare ca $v \neq ki$ $i \neq kv$



b) sursă de curent

elemente neliniare dacă nu este liniar - adică definiția elementelor

- fig 7 -

3. Dioda semiconductoră. ipoteza de surse

Presupunem că sursele curentilor logice de funcționare a diodei semiconductoră și stabilirea caracteristicilor sale de regim staționar, caracteristicilor sale relaționale (v [5] [8] [9] [10])

Vom folosi aici modelele respective, cel mai general (inclusiv cel mai mult parte)

α. Regimul staționar

Să ne putem cu încredere în ipoteza de sursă:

$$i_A = i_0 \left[\exp\left(\frac{qVA}{kT}\right) - 1 \right] \quad (4)$$

Așadar a ipoteza exponențială are pe diode pm

un model mai rafinat (si care ia in calcul efectul de generare si recombinare) apare :

$$i_2 : i_A = i_0 \left[\exp \left(\frac{qV_A}{kT} \right) - 1 \right] + i_0 \left[\exp \left(\frac{qV_A}{2kT} \right) - 1 \right] \quad (5)$$

Se mai folosesc termenii:

$$i_3 : i_A = i_0 \left[\exp \left(\frac{qV_A}{m k T} \right) - 1 \right] \quad m \in (1, 2) \quad (6)$$

care trebuie sa imbina mai multe fete.

Rafinarea pot continua, catre noi ipoteze, care

sa tina cont de :

- i4 - efectul suprafetei semiconductorului
- i5 - efecte la nivel mare de injectie (momenta si nivel variabilitate)
- i6 - efectul stransingerii in polarizarea inversa (cu observatia ca aici la un anumit punct consideram aceasta stransingere reversibila)
- i7 - efectul dependentei de temperatura
- etc etc etc.

i8 : Un exemplu de model care tine cont de o serie mai mare numai de efecte este dat in [10]

Totusi, noi nu vom intra in detalii acestor modelari. Teoremele de A. C. F sunt de o calitate de largi incet incet permit conditiile destul de largi pentru validitatea concluziilor lor. Dar, de fiecare data cand vrem sa stabilim un rezultat, nu trebuie

desit să verificăm, de că nu înțeleșterea condi-
țiile teoremei, în alte cuvinte că, orice funcție este
locală în sensul, caracteristica are anumite calități
(de exemplu numai monotonică, pentru o teoremă de
unicitate) în aceste condiții marile avantaje ale me-
toadelor A.C.F., de tip (d2) (v. pag 24), constă în a
reprezenta condițiile teoremei generale.

Metodele A.C.F. de tip (d2), care presupune cu-
noșterea teoremei din demonstrația teoremei
sunt încă și mai avantajoase. Ele permit aplicarea
unei teoreme a căror condiție din enunț nu este în-
deplinită de un caz concret, dacă ambele condiții nu
au fost necesare și doar suficiente în demonstrație
și utilizatorul are să ca și cazul concret în de-
pășirea condiției ~~reprezenta~~.

De exemplu dacă am utiliza teorema nr. 5 ca
și considerăm modelul (5) și se încearcă aplicarea
unei teoreme care are pentru condiția modelul (4)
el va fi blocat, căci suma a două exponențiale
nu este o exponențială. Pe de altă parte însă,
teorema cu un condiție (4) rămân în general va
dădile pentru o clasă mai largă de caractere restice.

ca $i_d = I(V_d)$ depinde prin proprietățile (7) :

- I este continuă, $I: \mathbb{R} \rightarrow \mathbb{R}$ și
- $\forall \beta > 0$ înt $\{ I(\alpha + \beta) - I(\alpha) : -\infty < \alpha < \infty \} = 0$
- sup $\{ I(\alpha + \beta) - I(\alpha) : -\infty < \alpha < \infty \} = \infty$ (7)

Clasa funcțiilor cu aceste proprietăți era notată cu $\boxed{\mathcal{E}}$

Săi arătăm ca ecuațiile cu "diodele exponențiale" (4) sunt în clasa \mathcal{E} , deci verificăm (7)

$$I(\alpha + \beta) - I(\alpha) = I_0 \left[\exp\left(\frac{e(V_{\alpha} + V_{\beta})}{kT}\right) - \exp\left(\frac{eV_{\alpha}}{kT}\right) \right] =$$

$$= I_0 \exp\left(\frac{eV_{\alpha}}{kT}\right) \left[\exp\left(\frac{eV_{\beta}}{kT}\right) - 1 \right]$$

Ozi, pentru $\forall \beta > 0$, $\exp\left(\frac{eV_{\beta}}{kT}\right) - 1 \geq \exp(0) - 1 \geq 0$

Deci $\exp\left[\frac{eV_{\beta}}{kT} - 1\right] = k > 0$ și rămâne:

$$I(V_{\alpha} + V_{\beta}) - I(V_{\alpha}) = k I_0 \exp\left(\frac{eV_{\alpha}}{kT}\right)$$

Acum este evident că proprietățile (7)

sunt satisfăcute. \square *q.e.d.*

Unul rezultatul din lucrarea de față este:

mai de apartenența la clasa \mathcal{E} a ecuațiilor rezonante. Astfel se pare că și modelul (5) ((6) în mod evident) și alți modele (7), deci în ^{era} modelul exponențial (4), așa cum s-a putut ca ipoteza de lucru să se verifice explicit.

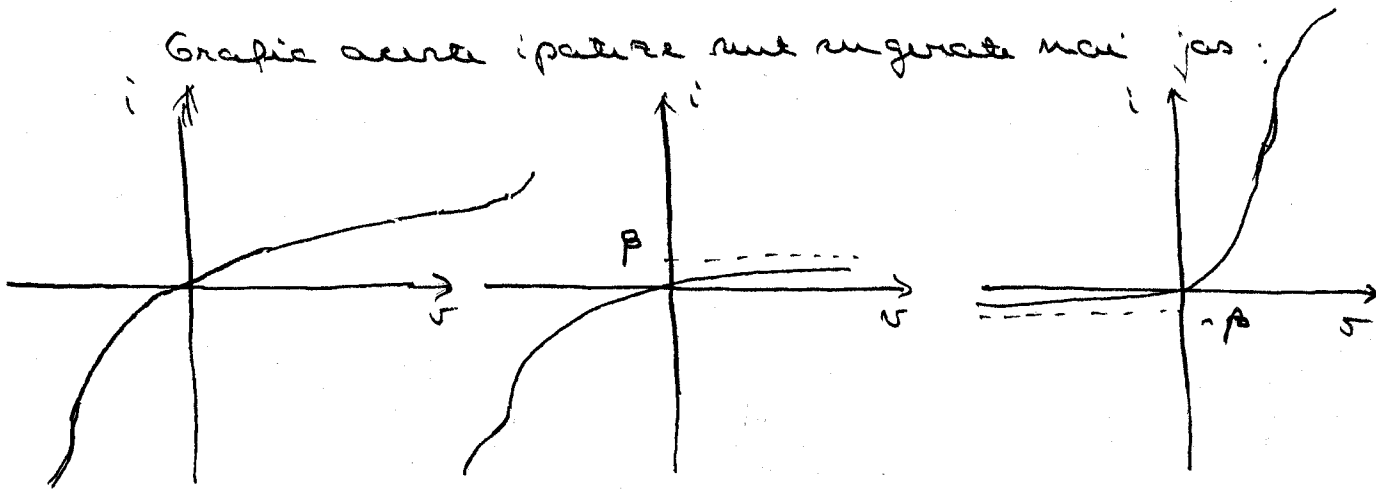
Fiecare teoremă va specifica ipotezele pe care le reclama.
 Desigur că dacă modelul va satisface ipoteze mai "fari"
 le va satisface cu atât mai mult pe cele mai stricte și tare.
 unele și se pot aplica

Sirul ipotezelor i_1, i_2, \dots (pag 54) poate fi extins
 cu ipoteze tot mai largi. Altele exemple:

i_9 : $f(v) = i$ este o funcție strict crescătoare care a-
 plică surjectiv \mathbb{R} pe \mathbb{R} ("diode surjectivă")

i_{10} : $f(v) = i$ este o funcție strict crescătoare care a-
 plică \mathbb{R} pe un interval de forma $(-\infty, \beta)$, sau (β, ∞)
 unde $\beta > 0$. ("diode marginală")

Grăfic aceste ipoteze sunt arătate mai jos:



a) diode surjectivă

b) diode marginală
superioră

c) diode mar-
ginală inferioră

- fig 8 - : Tipuri de diode

Sunt desigur posibile ipoteze și mai largi, dar le
 vom prezenta la punctul 5), care ocupă cu "rezistență
 neliniară" în general.

B) Regim netalelor

Diferența este absolut analogă celei din cazul precedent. Există și aici o sumedenie de modele, mai mult sau mai puțin precise. Utilizatorul va trebui însă numai să verifice dacă modelul pe care îl ia în considerație se încadrează în condițiile teoremei pe care ne-a s-o folosescă.

Mai jos prezint unele modele long folosite de exemplu în analiza pe calculator. Ele sînt foarte restrictive și se vor încadra întotdeauna în condițiile unei teoreme.

4) ipotezele standard pentru dioda semiconductoră

Pentru regim staționar :

i. C. T. St.



- fig 9 -

(Simbolizarea diodei semiconductoră)

cu alte cuvinte se presupune dioda un dispozitiv

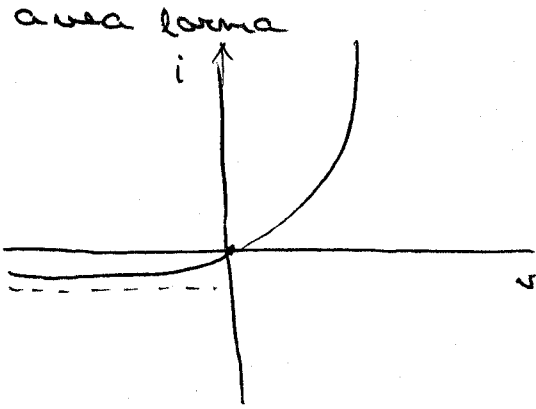
bidirecțional rezistiv.

Observație : Partea lată va nota la fel diodele n p

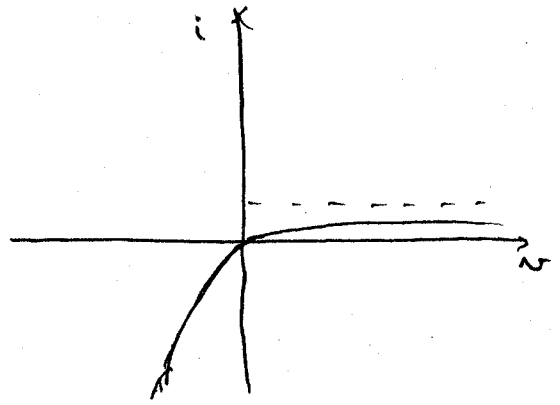
și p n, cu simbolul de mai sus. Diferența din-

tre ele va surse din cauza că, notînd cu k

$i = f(v)$ caracteristica diodei, la va



a) p-n



b) n-p

- fig 10 -

i.c.c. st

$$(8) i_a = \varepsilon i_0 \left[\exp\left(\frac{\varepsilon q V_A}{m k T}\right) - 1 \right]$$

unde (veri fig 10) $\left\{ \begin{array}{l} \varepsilon = 1 \text{ pt dioda p-n} \\ \varepsilon = -1 \text{ pt dioda n-p} \end{array} \right. \quad (8')$

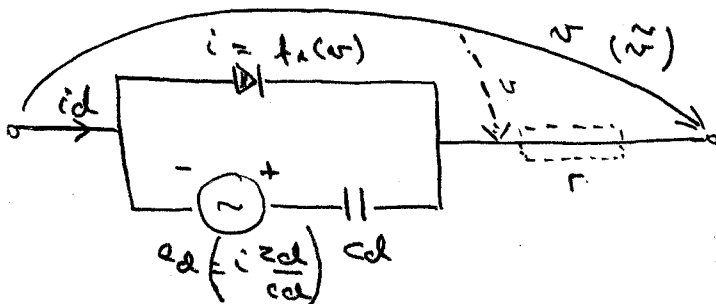
Derecari vom mai scrie si forma

$$i = f_1(v) \text{ unde } \boxed{f_1(v) = m_1 \left[\exp(m_1 v) - 1 \right]} \quad (9)$$

cu $m_1 m_2 > 0$ $(9')$

Pentru regim unidirectional:

i.c.t. st : este analizata in figura:



- fig 11 -

Într-un model detaliat de elaborat, unde sursa de tensiune controlata este realizata dintr-un număr foarte mare de celule sau surse de tensiune care sursa de tensiune nu sursa de tensiune. (cd global e fca de i si z_d)

Rezultanta seriei r_0 poate fi purtata pentru a avea
caz de efect la nivelul mare de injecție.

Sursa de tensiune concordată ține să pună con-
diția elementelor schemei constante cu v, i .

Z_0 - timpul de viață a lezilor anilor și gelurilor
($Z_0 = Z_{m0} = Z_{p0}$) El va modela în general faza de gi-
nerare - recombinație.

Modelul e validat doar în cazul circuitelor de comutație.
Conține o limitare în cazul circuitelor de comutație.

<u>i, c, s, k</u>	- cd (seria r_0) sunt elemente liniare
	- $i = k_1(v)$ este de tip standard (S)
	- $ed = i \frac{Zd}{cd} \quad (10)$

Dacă dăm o sursă unitară, și calculăm mai

într-o sursă totală stocată:

$$(11) \quad Q_d = C_d v_{cd} = C_d (ed + v_d) = C_d \left(i \cdot \frac{Z_d}{C_d} + v_d \right) = i Z_d + C_d v_d$$

(unde termenii reprezintă: generarea mecanică generală
în regiunea de gelare, respectiv sursă ~~totală~~ stocată
capacitiv pe joncțiune (la capetele reg. de tranziție))

Dacă

$$(12) \quad id = i + \frac{dQ_d}{dt} = k_1(v_d) + \frac{d}{dt} (C_d v_d + Z_d k_1(v_d))$$

Atunci când se ține cont și de R , se adaugă:

$$i \cdot v = v + R id \quad (13) \quad (\text{evident de pe figura})$$

5) ipoteze privind rezistențele neliniare (în general)

i.c.t. : sunt elemente bi-termenale adică au structura

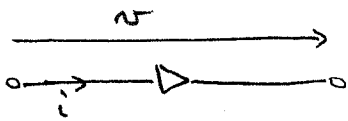


Fig 12 : Element rezistiv neliniar oarecare

i.c.c. ele pot fi extrem de variabile. Dacă într-o parte amare, dau mai jos unele ipoteze clasice, pe care voi încerca să le ordonez oarecum pe categorii (relative) și consecutiv, în revue restrictiv.

1) ipoteze privind compararea în timp :

- relația (14) $f(v, i) = K$, care caracterizează elementul este invariabilă în timp sau :
- variabilă în timp

2) ipoteze privind modul de definire

- rezistențe definite implicit : $f(v, i) = 0$
- rezistențe definite universal : folosește și există un parametru t - de obicei lungimea axului - cel

(14) $\begin{cases} v = v(t) \\ i = i(t) \end{cases}$ și funcțiile v, i au anumite pro

rietăți (v Art 9) (realizabilitate etc)

- rezistențe ~~definite~~ definite în curent - atunci când există o expresie de forma (14'') $v = G(i)$, unde G este definită pe o anumită submulțime din \mathbb{R} .

Controlate

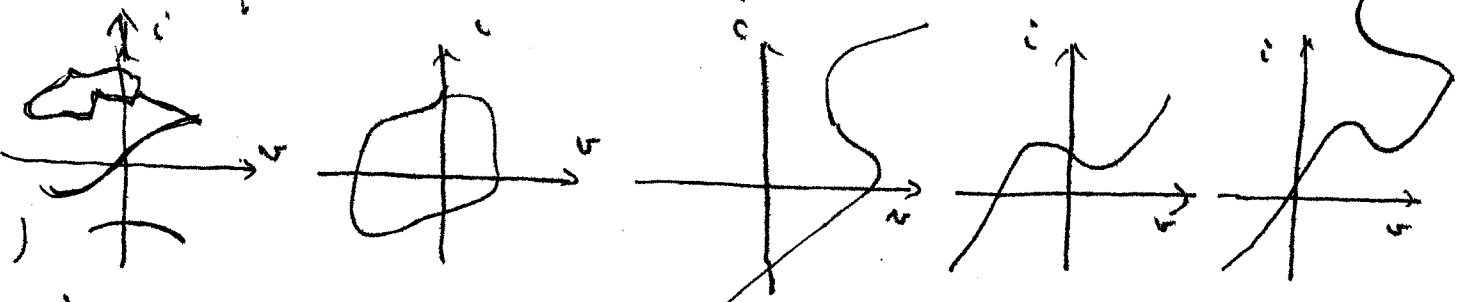
- rezistenți ~~definite~~ în curent (ca la cele pen. unde dar i poate lua acum orice valoare reală)

controlate

- rez. definite (~~rezistenți~~) în tensiune, pentru o relație $i = Q(u)$ (considerată analog)

- rez. dublu definite (controlate), sau se mai folosesc „rezistenți cum la lumă” (considerată lor e bijectivă)

Grăfice:



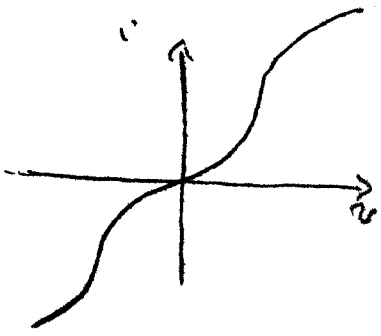
a) Rez. „generale”

b) Rez. „unicursale”

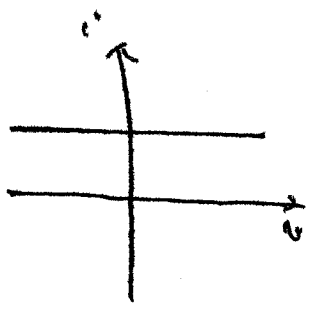
c) controlate în curent

d) controlate în tensiune

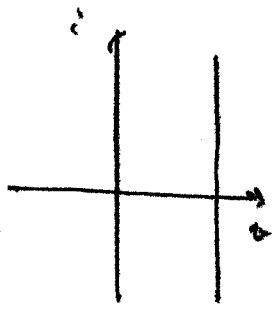
e) Nici în curent, nici în tensiune



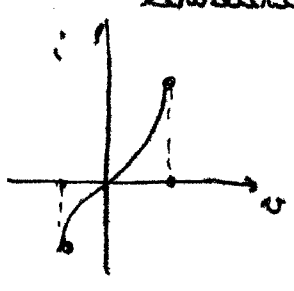
f) Rez. „cum la lumă”



g) Sursă de curent ca o rez. controlată în tensiune



h) Sursă de tensiune - rez. controlată în curent



i) rez. dublu definite (domeniu mărginit)

- fig 13 - Tipuri de rezistențe

Observații

Ca și în cazul celorlalte tipuri de rezistențe, dar, ca și la rez. liniare, vom considera funcțiile definite pe toată axa reală. Impedanța acasă considerată

va fi directată în altă parte ($v \in [0]$). De remarcat și procesele de „prelungire” pe care le vom discuta în lucrare și care vor face să putem considera un element definit în curent - controlat în curent, cu verificările finale de control specificate ($v \in \text{III DG}$). În general, termenii de unitate și în parte însă valabilitate, fac și o verificare.

În continuare vom presupune existența controlului de funcționare (cazurile controlului în curent și emisia se tratează analog)

Dacă $i = G(v)$, $f: \mathbb{R} \rightarrow \mathbb{R}$ Arinind funcție $G(v)$ (de obicei notată $f(x)$) avem :

3. ipoteze privind funcția $f(x)$

- monotonia (strictă sau nu)
 / creștere
 \ decreștere
- injectivitate
- surjectivitate
- bijectivitate
- marginarea
 { la $t = \infty$
 la $t = -\infty$
 în ambele părți

 { ^{inferioră}
 superioră
 dubli

Sau proprietăți analitice :

- continuitatea
- derivabilitatea

- $f \in C^k$ - clasa funcțiilor cu derivate continue
până la ordinul k

- funcție în dependență o condiție Lipschitz:

$$|f(x) - f(y)| \leq L |x - y| \quad (15)$$

(în cazul variabilă în timp, condiția va fi îndeplinită uniform în timp, adică $\forall t$)

- sau alte proprietăți particulare:

- lipsă de lip ϵ (v pag 56)

- funcții cu variație mărginită (v [21] pag 67) (rău utile în cazul tratării univarsale)

- lipsă exponențială etc etc etc.

Observații

1) în cazul doi diode țesut vor ajunge la un element a cărui caracteristică poate fi foarte variată (univarsală, contr. în timp etc), dovadă a realității fizice a circuitelor considerate.

2) Toate considerațiile acestui paragraf se pot aplica și condensatorilor și bobinelor, vorbim ca elemente bilineare neliniare, cu schimbările

condensatori $i \rightarrow q$
 $v \rightarrow v$

bobine $i \rightarrow i$
 $v \rightarrow \phi$ ((v. [2] 2)

6) ipoteza privind tranzițiile - generalități

Pentru a nu deveni obscur, nu voi mai reface întraga descriere privind diversele modele ale tranzistorului, gradul lor de precizie, modelele cum sunt obținute sau epitelile de care ele țin sau nu țin (unidimensionalitate, nivel mic de injecție, epelile de generație - recombinare etc)

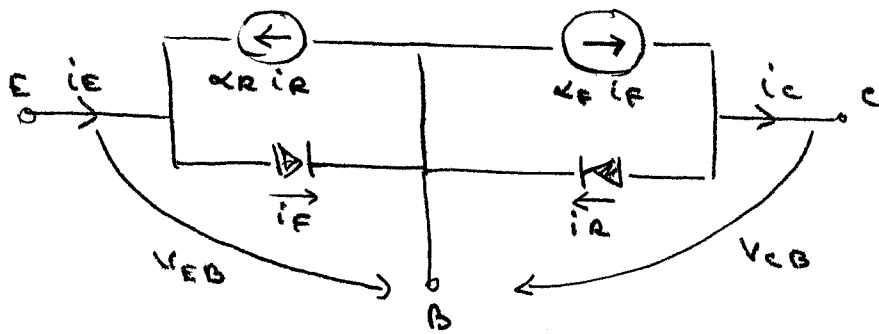
Vom fi puși din nou în situația de a alege un model de regim staționar și unul de regim nestaționar care să țină cont, pe cât posibil de cât mai multe efecte, dar trebuie să remarcăm încă o dată că multe teoreme (v. Ap. A ca exemplu) nu vor deșir ipoteze slabe, cum ar fi monotonia diodei din modelul Ebers-Moll și continuitatea lor. Totuși avem fapt de vorbă generalități și aplicabilitate.

7) Modelări standard pentru tranzistor

a) Regim staționar. Modelul simplu

Vom porni de la modelul clasic Ebers-Moll, cu generarea de curenți comandați de curenți prin diode, (fig 14 - nel 17) unde putem să scriem în formă compactă condiția

(16) $\alpha = i_{e0} = \alpha i_{c0}$, deși pe caracteristici joase $i_{e0}(i_{c0})$ - curenți de saturație cu $V_{CB} = 0$ ($V_{CB} > 0$)



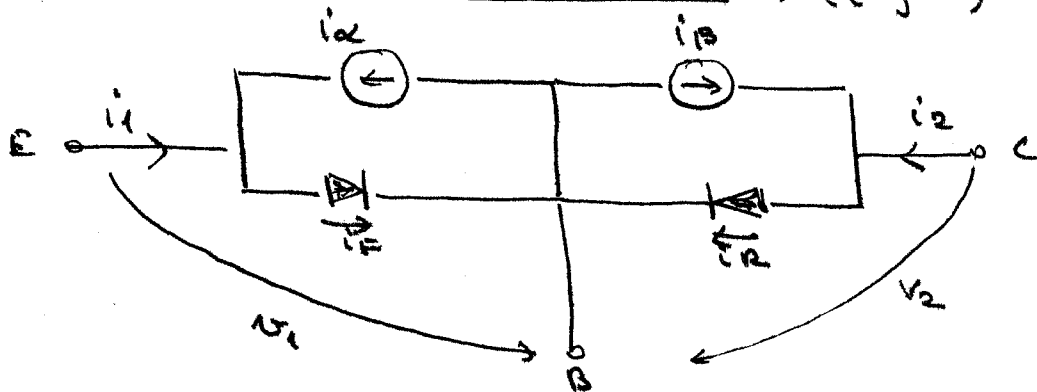
- Fig 14 -
Model „Ebers - Moll”
al tranzistorului
bipolar. PNP

$$(17) \begin{cases} i_E = i_{ES} \left[\exp\left(\frac{qV_{EB}}{kT}\right) - 1 \right] - \alpha_R i_{CS} \left[\exp\left(\frac{qV_{CB}}{kT}\right) - 1 \right] \\ i_C = \alpha_F i_{ES} \left[\exp\left(\frac{qV_{EB}}{kT}\right) - 1 \right] - i_{CS} \left[\exp\left(\frac{qV_{CB}}{kT}\right) - 1 \right] \end{cases}$$

Vom transforma puțin schema de mai sus, pentru

ca ajunge la forma pe care o vom folosi în lucrare (prin
această schimbare referința convențională joncțiunii de colector.

Asemenea I.C.T. nr 1 : (Fig 15)



- Fig 15

ca și paterale de calitate I.C.C. nr 1 sau și

$$(18) \begin{cases} i_\alpha = \alpha_c i_C \\ i_\beta = \alpha_e i_E \end{cases} \text{ cu } \boxed{\alpha_c, \alpha_e \in (0, 1)} \quad (18)'$$

(prin care sursele de curent controlate)

în acea a primelor sursele, se va putea pune

modelate ca diode standard (v pag 59) sau în multe

cazuri, sau și diode generalizate (v pag 61) ca și -

veze proprietați, înlocuim specificate. Deci

$$(19) \begin{cases} i_E = m_1 \left[\exp\left(\frac{m_1 v_1}{k}\right) - 1 \right] \\ i_C = m_2 \left[\exp\left(\frac{m_2 v_2}{k}\right) - 1 \right] \end{cases} \text{ cu } \begin{cases} m_1 m_1 > 0 \\ m_2 m_2 > 0 \end{cases} \quad (19)'$$

soluții generale

$$(20) \begin{cases} i_1 = k_1(v_1) \\ i_2 = k_2(v_2) \end{cases}$$

Observații

1) Ca să în carene diodelor, nu va exista nici o direc-
țiune privind forma relațiilor (19) sau (20) între

transistorul pnp și npn. De aceea va consta

în ceea ce :

- pentru pnp : $m_1, m_1, m_2, m_2 > 0$
- pentru npn : $m_1, m_1, m_2, m_2 < 0$

sau, ea e figurată în fig 10.

De aceea pentru k_{12} , urmează :

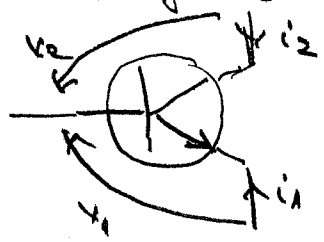


Fig-16 -

Simbol universal pentru
transistor bipolar
(pnp sau npn)

va putea reprezenta la fel de bine un transistor
nnp sau pnp. Teoremele vor avea proprietăți ale
funcțiilor f_1, k_2 , la fel de bine încheiate de ambu

variabile de diode din fig 10. (strucț circuite, etc)

2) Relațiile dintre parametri: m_1, m_2 și cei din modelul Ebers-Hall se stabilesc imediat prin identifi. carea rel (17) cu (21), care snt obținute prin utilizarea lui (18) (19) în modelul din fig 15:

$$(21) \begin{cases} i_1 = m_1 [\exp(m_1 v_1) - 1] - \alpha_r m_2 [\exp(m_2 v_2) - 1] \\ i_2 = -\alpha_f m_1 [\exp(m_1 v_1) - 1] + m_2 [\exp(m_2 v_2) - 1] \end{cases}$$

3) Dacă lăsam diodele libere din rel (20)

obținem

$$(22) \begin{cases} i_1 = I_1(v_1) - \alpha_r I_2(v_2) \\ i_2 = -\alpha_f I_1(v_1) + I_2(v_2) \end{cases} \quad \text{sau matricial:}$$

$$(22') \begin{pmatrix} i_1 \\ i_2 \end{pmatrix} = \begin{pmatrix} 1 & -\alpha_r \\ -\alpha_f & 1 \end{pmatrix} \begin{pmatrix} I_1(v_1) \\ I_2(v_2) \end{pmatrix}$$

cu notarea corespunzătoare, în matricele

$$(23') i = \begin{pmatrix} i_1 \\ i_2 \end{pmatrix} \quad (23'') v = \begin{pmatrix} v_1 \\ v_2 \end{pmatrix} \quad (23''') F(v) = \begin{pmatrix} I_1(v_1) \\ I_2(v_2) \end{pmatrix} \quad T = \begin{pmatrix} 1 & -\alpha_r \\ -\alpha_f & 1 \end{pmatrix} \quad (24)$$

$$(25) \boxed{i = T F(v)} \quad \text{cu}$$

- $\alpha_r, \alpha_f \in (0, 1)$
- F o aplicație diagonală (v rel 23''')
- i, v vectori bidimensionali (23', 23''')

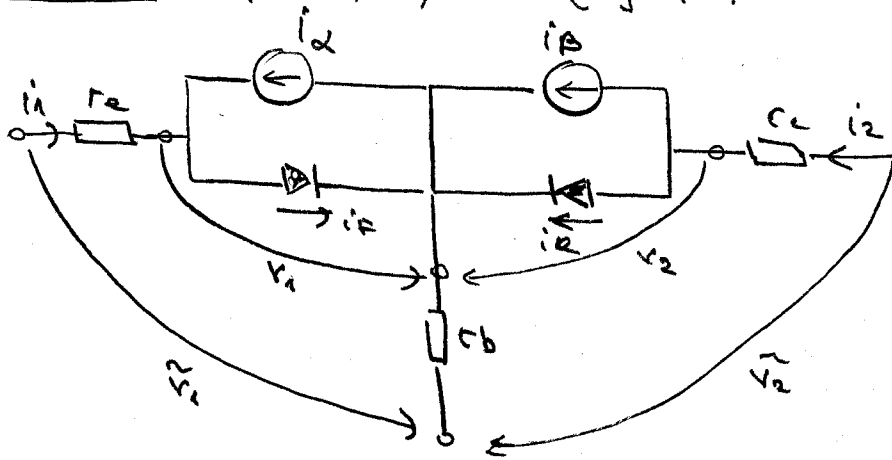
cu ce

$$(25') F: \mathbb{R}^2 \rightarrow \mathbb{R}^2, \text{ funcție vectorială diagonală}$$

(b) Regim staționar. Modelul lărgit

Ca și în cazul diodelor, putem ține cont de prezența rezistenței r_b (pentru niveluri mari de injecție) sau a rezistențelor de contact de terminal. Obținem atunci "modelul lărgit", cu:

I.C.T (topologia) din fig 17:



- fig 17 -

Modelul "lărgit" al T.B

I.C.C. et 2

- r_e, r_b, r_c sunt rezistențe liniare pasive

Observație

Dacă avem ca $r_e, r_b, r_c \gg 0$, pentru cazul egalității cu 0, dăm peste modelul simplu SE1, ca un caz particular a lui SE2.

$$\begin{cases} i_e = \alpha_F i_r \\ i_b = \alpha_R i_r \end{cases} \quad \text{cu} \quad \alpha_F, \alpha_R \in (0, 1)$$

(18 bis) (18' bis)

Dacă:

$$\begin{cases} i_1 = k_1(v_1) - \alpha_F k_2(v_2) \\ i_2 = -\alpha_R k_1(v_1) + \alpha_F k_2(v_2) \end{cases} \quad (20 \text{ bis})$$

sau
$$\boxed{i = TF(v)} \quad (25 \text{ bis})$$

Avem acum suplimentar

$$(26) \begin{cases} v_1 = \tilde{v}_1 - i_1(r_b + r_c) - i_2 r_b \\ v_2 = \tilde{v}_2 - i_1 r_b - i_2(r_b + r_c) \end{cases}$$

$$\left(\begin{array}{l} \text{Putând cure la zero din} \\ \end{array} \right) \begin{cases} v_1 = \tilde{v}_1 - (i_1 + i_2) r_b - i_2 r_c \\ v_2 = \tilde{v}_2 - (i_1 + i_2) r_b - i_2 r_c \end{cases}$$

Relațiile 26 se mai scriu și

$$(26') \begin{pmatrix} v_1 \\ v_2 \end{pmatrix} = \begin{pmatrix} \tilde{v}_1 \\ \tilde{v}_2 \end{pmatrix} - \begin{pmatrix} r_b + r_c & r_b \\ r_b & r_b + r_c \end{pmatrix} \begin{pmatrix} i_1 \\ i_2 \end{pmatrix}$$

sau:

$$(27) \quad \boxed{v = \tilde{v} - R i} \quad \text{unde}$$

$$v = \begin{pmatrix} v_1 \\ v_2 \end{pmatrix} \quad i = \begin{pmatrix} i_1 \\ i_2 \end{pmatrix} \quad \tilde{v} = \begin{pmatrix} \tilde{v}_1 \\ \tilde{v}_2 \end{pmatrix} \quad \text{und matricei bicele diagonale}$$

(23 bis)

iar $R = \begin{pmatrix} r_b + r_c & r_b \\ r_b & r_b + r_c \end{pmatrix} \quad (27')$, cu $r_b, r_c, r_e \geq 0$.

În anumite, putem avea ca și cum:

$\begin{pmatrix} i_1 \\ i_2 \end{pmatrix} = \begin{pmatrix} 1 - kr & \\ -kr & 1 \end{pmatrix} \begin{pmatrix} k_1(v_1) \\ k_2(v_2) \end{pmatrix}$	$i = TF(v)$
$\begin{pmatrix} v_1 \\ v_2 \end{pmatrix} = \begin{pmatrix} \tilde{v}_1 \\ \tilde{v}_2 \end{pmatrix} - \begin{pmatrix} r_b + r_c & r_b \\ r_b & r_b + r_c \end{pmatrix} \begin{pmatrix} i_1 \\ i_2 \end{pmatrix}$	$v = \tilde{v} - R i \quad (28)$

și $k_k(v_k)$ pot avea forma standard:

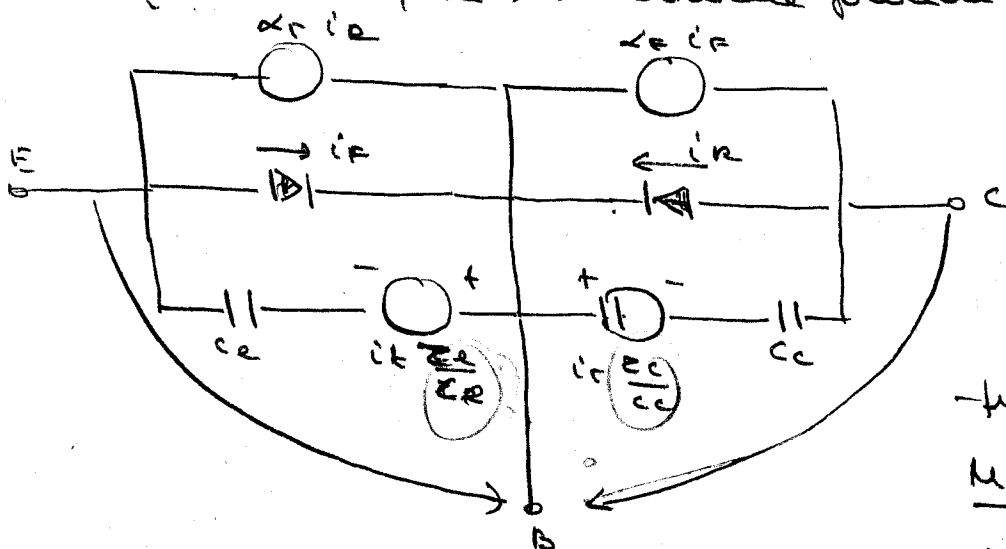
$$k_k = m_k \left[\exp[m_k v_k] - 1 \right] \quad k = 1, 2 \quad m_k m_k > 0 \quad (28')$$

sau una alta functie, mai generala

Ⓒ Regim variational. Model simplu

Voi folosi modelul circuit de refinat al lui Gummel, (art 16), utilizat de obicei in literatura, pentru adaptabilitatea sa pe calculatoar. Este un model de control prin sarcini. Nu voi mai detalia detaliile privind natura sa de variationala. (de altfel am văzut că acest aspect va conta mai puțin)

i.c.t st 1 : prevede topologia din figura 18 (detaliu cu privire la tipul sursei controlate, la i.c.c) : Pentru rapiditate, am inclus in figura și valorile sa de control ale sursele comandate, care eventuale puteau fi trecute, ca in circuitele precedente la i.c.c.



-fig 18-

Modelul Gummel

al TB.

i.c.c. st 2

in figura au fost trecute deja unele din ele.

- $(\alpha_r, \alpha_t) \in (0, 1)$

- C_e, C_c sunt condensatori liniari pozitivi

- λ (surse controlate de tensiune din cadrul de v-

realizate cu punctele de funcționare)

- iar, în caz de standard :

$$\begin{cases} i_k = m_1 [\exp(m_1 v_1) - 1] \\ i_r = m_2 [\exp(m_2 v_2) - 1] \end{cases} \quad m_1 \ll m_2 > 0 \quad (19 \text{ bis})$$

sau

$$(20 \text{ bis}) \begin{cases} i_k = k_1(v_1) \\ i_r = k_2(v_2) \end{cases} \quad \text{mai generale (vezi 19, 20)}$$

Calculul și scrierea stocată pe jonctiuni (cu definiția și interpretarea lui Gummel [anexa 10])

$$(29) \begin{cases} \phi_k = e C_e V_{ce} = C_e (V_1 + i_k \frac{z_k}{C_e}) = C_e V_1 + i_k z_k \\ \phi_r = C_c V_{cc} = C_c (V_2 + i_r \frac{z_r}{C_c}) = C_c V_2 + i_r z_r \end{cases}$$

de unde putem scrie:

$$\begin{cases} \dot{i}_1 = \frac{d}{dt} \phi_k = i_k - \alpha_r i_r \\ \dot{i}_2 = \frac{d}{dt} \phi_r = -\alpha_k i_k + i_r \end{cases} \quad \text{sau:}$$

$$\begin{cases} \dot{i}_1 = \frac{d}{dt} [C_e V_1 + z_k k_1(v_1)] + k_1(v_1) - \alpha_r k_2(v_2) \\ \dot{i}_2 = \frac{d}{dt} [C_c V_2 + z_r k_2(v_2)] - \alpha_k k_1(v_1) + k_2(v_2) \end{cases} \quad (30)$$

sau

$$\begin{pmatrix} \dot{i}_1 \\ \dot{i}_2 \end{pmatrix} = \frac{d}{dt} \begin{pmatrix} C_e V_1 + z_k k_1(v_1) \\ C_c V_2 + z_r k_2(v_2) \end{pmatrix} + \begin{pmatrix} 1 & -\alpha_r \\ -\alpha_k & 1 \end{pmatrix} \begin{pmatrix} k_1(v_1) \\ k_2(v_2) \end{pmatrix} \quad (30')$$

Să mai scriem în matrice:

$$(31) \begin{cases} C_1(v_1) = C_e V_1 + z_k k_1(v_1) \\ C_2(v_2) = C_c V_2 + z_r k_2(v_2) \end{cases} \quad \text{cu care (30) ia}$$

forma:

$$\begin{pmatrix} \dot{c}_1 \\ \dot{c}_2 \end{pmatrix} = \frac{d}{dt} \begin{pmatrix} c_1(v_1) \\ c_2(v_2) \end{pmatrix} + \begin{pmatrix} 1 - \alpha r \\ -\alpha t & 1 \end{pmatrix} \begin{pmatrix} k_1(v_1) \\ k_2(v_2) \end{pmatrix} \quad (30'')$$

sau pe scurt

$$\boxed{\dot{c} = \frac{d}{dt} C(v) + T F(v)} \quad (32)$$

sau $\dot{c} = \begin{pmatrix} \dot{c}_1 \\ \dot{c}_2 \end{pmatrix}$ $v = \begin{pmatrix} v_1 \\ v_2 \end{pmatrix}$ $T = \begin{pmatrix} 1 - \alpha r \\ -\alpha t & 1 \end{pmatrix}$ $(32')$

sau $F(v), C(v)$ sunt două aplicatii diagonale $\mathbb{R}^2 \rightarrow \mathbb{R}^2$

adica au forma $\begin{pmatrix} k_1(v_1) \\ k_2(v_2) \end{pmatrix}, \begin{pmatrix} c_1(v_1) \\ c_2(v_2) \end{pmatrix}$ $(32'')$

In fine α - unde sau reperete indicate ca

condiție (18'): $\alpha r, \alpha t \in (0, 1)$ $(18')$

sau k_1, k_2 , pot sau nu să aibă forma (19)

2) Regim reactiv. Model largit

Se ține cont de prezenta rezistențelor de terminal. Nu mai are figura (analogă lui 17) mai calculul (analog celui de la pt b). Rezultatele sunt evidente:

$$\begin{cases} \begin{pmatrix} \dot{c}_1 \\ \dot{c}_2 \end{pmatrix} = \frac{d}{dt} \begin{pmatrix} c_1(v_1) \\ c_2(v_2) \end{pmatrix} + \begin{pmatrix} 1 - \alpha r \\ -\alpha t & 1 \end{pmatrix} \begin{pmatrix} k_1(v_1) \\ k_2(v_2) \end{pmatrix} \\ \begin{pmatrix} v_1 \\ v_2 \end{pmatrix} = \begin{pmatrix} \tilde{v}_1 \\ \tilde{v}_2 \end{pmatrix} - \begin{pmatrix} r_b c_c & r_b \\ r_b & r_b + r_c \end{pmatrix} \begin{pmatrix} c_1 \\ c_2 \end{pmatrix} \end{cases} \quad (33)$$

sau pe scurt

$$\begin{cases} \dot{c} = \frac{d}{dt} C(v) + T F(v) \\ v = \tilde{v} - R c \end{cases} \quad (33')$$

u toate elementele specificate la punctul anterior
sau

⑧ ipoteze privind distribuțiile multiterminale

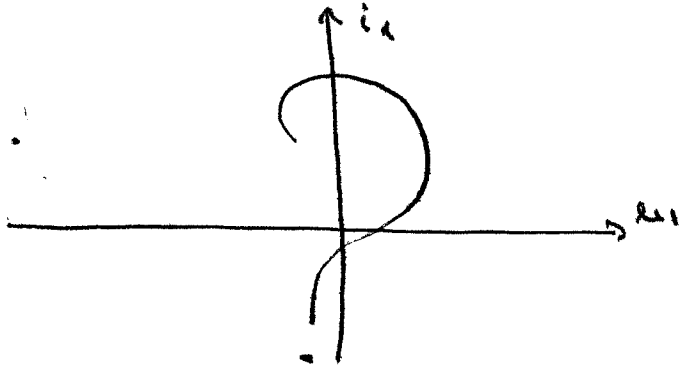
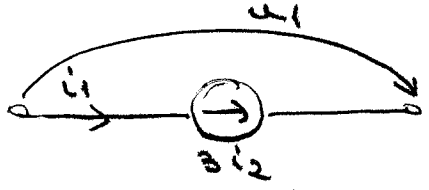
Doi cazuri subiect este foarte interesant, (vezi [19, 20])

nu el va scrie aici. Totuși nu se poate face nici o parte lăsa a face unele observații.

Așa precum s-a văzut în exemplul oferit de bobina transformatorului, în general, topologia multiterminală (care în general aduce schimbări profunde în funcționarea și realizarea dispozitivelor) este necesită de analiză ca un ansamblu de dispozitive bi-terminale, atunci când acestea sunt pariale. Pentru aceste dispozitive apare și necesitatea de a avea o relație completă de variabilele unor altor laturi.

Acțiunile mai elementare multiterminale (generatoarele comandate) nu sunt încă foarte dipoli în înțelesul clasic al ambidextri (adică o relație între variabilele v , i ale laturii respective).

Situația este rezumată în figura:



- fig 19 -

1, Surse comandate!

Care este cauza apariției acestor elemente „reprezentați”?
 Să luăm ca exemplu modelul transformatorului, văzând ca
 dipol, sau dipolul cu bornă comună:

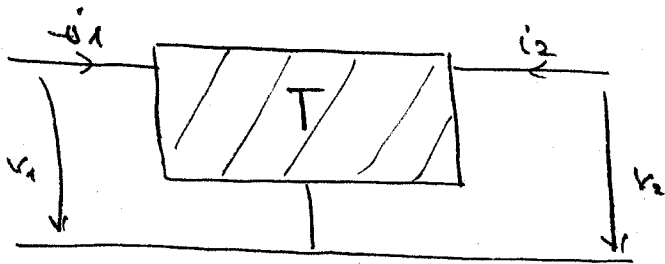


fig 20
 Transformatorul ca
 dipol

El va determina o restricție în spațiul celor patru
 variabile de portă i_1, i_2, v_1, v_2 , adică un set de două
 relații care să le cuprindă. Din punct de vedere, putem exprime
 aceste relații în forma:

$$\begin{cases} i_1 = k_1(v_1) - k_2(v_2) \\ i_2 = -k_1(v_1) + k_2(v_2) \end{cases} \quad (20 \text{ bis})$$

care se aduce aminte de varianta liniară:

$$\begin{cases} i_1 = G_{11} v_1 + G_{12} v_2 \\ i_2 = G_{21} v_1 + G_{22} v_2 \end{cases} \quad (34)$$

Oricare din aceste două relații însă, nu se per-
 mite să scoatem nici una - în mod o relație care să-l
 cuprindă numai pe i_1 și v_1 . Introduceam într-o astfel
 de relație va fi angajat și un alt parametru. Acest
 alt parametru va rezerva ideea de surse comandate.

În mod normal însă, într-un circuit liniar,
 vom putea face calcule care să aducă ecuațiile în
 forma dorită (dipolul T e format din elemente li-
 niare, adică k_i - liniare)
 un raport.

Pentru cazul transformărilor noastre, înscrierile fenomenelor fizice impune dependența din relația (20 bis), această relație mai reprezintă doar un mod de revedere prescurtată a unui sistem de referință. Dacă transformările transformărilor a un triplet (el nu poate fi descompus în dipoli normati - adică relația $v_k = t(i_k)$). De aceea transformările nu vor mai lega clasei mărimi unidimensionale (din spațiul R), ci, așa cum se vede din (20):

$$\begin{pmatrix} i_1 \\ i_2 \end{pmatrix} = \begin{pmatrix} 1 & -\alpha r \\ -\alpha r & 1 \end{pmatrix} \begin{pmatrix} t_1(v_1) \\ t_2(v_2) \end{pmatrix} = \begin{pmatrix} \tilde{t}_1(v_1, v_2) \\ \tilde{t}_2(v_1, v_2) \end{pmatrix} \quad (35')$$

matrică pe scurt

$$\boxed{i = F(v), \quad F: R^2 \rightarrow R^2} \quad (35)$$

(F funcție vectorială)

În cazul general funcțiile \tilde{t}_1, \tilde{t}_2 pot fi scrise:

cazi. Astfel deveni la noi

$$\begin{cases} t_1(v_1, v_2) = t_1(v_1) - \alpha r t_2(v_2) \\ t_2(v_1, v_2) = -\alpha r t_1(v_1) + t_2(v_2) \end{cases} \quad (35')$$

unde dăc un caz foarte particular, în ~~caz~~ ^{caz} $v_2 = 0$.

relațiile v_1, v_2 din expresiile funcțiilor t_1, t_2 au

formă

1) separabile

$$(36) \begin{cases} t_1(v_1, v_2) = t_1'(v_1) + t_1''(v_2) \\ t_2(v_1, v_2) = t_2'(v_1) + t_2''(v_2) \end{cases}$$

(această particularitate a făcut posibilă introducerea unor surse controlate)

2) „variliniare” : relațiile (38) pot lua forma din 38'. (adică t_2', t_2'' sunt tot t_1', t_1'' înmulțite cu coeficienți constanți)

Asupra particularității vor fi exploatate puțin. Si ne bucurăm totuși mai departe pentru a vedea că, pe cazul general al unui multipal pot avea un număr de surse de simplificare

- 1) Multipal general
- 2) Multipal organizat ca multipare, Există variabilele $i_1, \dots, i_n, v_1, \dots, v_m$, care relațiile care țin de punere sunt:

$$(37) \begin{cases} t_1(i_1, \dots, i_n, v_1, \dots, v_m) = 0 \\ t_2(i_1, \dots, i_n, v_1, \dots, v_m) = 0 \\ \vdots \\ t_m(i_1, \dots, i_n, v_1, \dots, v_m) = 0 \end{cases}$$

(pot vedea aceste ~~relații~~ relații ca un set de ecuații implicite pentru un grup oarecare de n variabile)

3) Sunt date explicit n variabile de poartă funcție de celelalte:

$$(38) \begin{cases} y_1 = t_1(x_1, \dots, x_n) \\ y_2 = t_2(x_1, \dots, x_n) \\ \vdots \\ y_m = t_m(x_1, \dots, x_n) \end{cases}, \text{ unde } \left. \begin{matrix} y_1, \dots, y_m \\ x_1, \dots, x_n \end{matrix} \right\} \text{ sînt variabilele } i_1, \dots, v_m$$

4) $y_k = i_k$ sau v_k

(38) $x_k = v_k$ sau i_k , în (38) \rightarrow reprezentare hibridă generală

5) în cazul 4), funcțiile $f_k(x_1, \dots, x_n)$ pot fi separate

$$x_k = f_k^{(1)}(x_1) + f_k^{(2)}(x_2) + \dots + f_k^{(n)}(x_n) \rightarrow$$
 surse comandate separate

6) (39) $k = 1, \dots, n$

6) Paritalitatea covariabilă (în afara unor termeni

meni conștienți apar alegeri $f^{(i)}(x_j)$ indiferent de k , în rezultate 40.

În general, un multiplicat poate introduce o relație

de tipul

(40) $F(x) = y$ sau pe larg

$$\begin{cases} k_1(x_1, \dots, x_n) = y_1 \\ k_2(x_1, \dots, x_n) = y_2 \\ \vdots \\ k_n(x_1, \dots, x_n) = y_n \end{cases} \quad \text{dare admite o reprezentare hibridă generală}$$

unde $F : \mathbb{R}^n \rightarrow \mathbb{R}^n$ e o funcție vectorială.

În cazul multiplicatilor neliniare de tipul tran-

zitorului, considerarea aspectului vectorial (rel 40),

nu mai este doar o manieră de prezentare a sistemii

ecuațiilor ci singurul mod posibil de definiere a s.

sur elemente, pentru o funcție $F : \mathbb{R}^n \rightarrow \mathbb{R}^n$ irreductibilă

Acerta se oferă paritalitatea la nivel componentă

deci nu se poate certifica este motivul pentru care am

considerat necesar paragraful următor,